

**INSTITUTO POLITÉCNICO DE LISBOA
INSTITUTO SUPERIOR DE ENGENHARIA DE LISBOA**

Licenciatura em Matemática Aplicada à Tecnologia e à Empresa

Métodos para Equações Diferenciais Ordinárias - 2025/2026

Trabalho 1 - Data de entrega: 30 de Novembro de 2025

Númro 52741. Nome Guilherme Souto ¹
Número 51748. Nome Mariana Correia Filipe ²

29 de novembro de 2025

¹A52741@alunos.isel.pt

²A51748@alunos.isel.pt

Conteúdo

1	Introdução	3
2	Solução Exata	3
3	Resolução Numérica de Métodos Unipasso	3
3.1	Descrição dos Métodos Utilizados	3
3.1.1	Método de Euler	4
3.1.2	Método de Runge-Kutta de 4 ^a Ordem (RK4)	4
3.2	Implementação Computacional	4
3.3	Resultados Numéricos	5
3.4	Análise do Comportamento do Erro	5
3.4.1	Método de Euler	5
3.4.2	Método de Runge-Kutta de 4 ^a Ordem	5
3.4.3	Comparação entre Métodos Unipasso	6
3.5	Análise log-log e Ordem Empírica	6
3.5.1	Ordem Empírica de Euler	6
3.5.2	Ordem Empírica de Runge-Kutta de 4 ^a Ordem	6
3.6	Comparação Gráfica entre Solução Exata, Euler e Runge-Kutta 4	7
3.6.1	Análise Gráfica para o Método de Euler	7
3.6.2	Análise Gráfica para o Método de Runge-Kutta de 4 ^a Ordem	7
4	Resolução Numérica de Métodos Multipasso	8
4.1	Descrição dos Métodos Utilizados	8
4.1.1	Método de Adams–Bashforth de 4 ^a Ordem (AB4)	8
4.1.2	Método de Adams–Moulton de 4 ^a Ordem (AM4)	9
4.2	Valores Iniciais	9
4.3	Implementação Computacional	9
4.4	Resultados Numéricos	9
4.5	Análise do Comportamento do Erro	10
4.5.1	Método de Adams–Bashforth de 4 ^a Ordem (AB4)	10
4.5.2	Método de Adams–Moulton de 4 ^a Ordem (AM4)	10
4.5.3	Comparação entre Métodos Multipasso	11
4.6	Análise log–log e Ordem Empírica	11
4.6.1	Ordem Empírica do Método de Adams–Bashforth de 4 ^a Ordem (AB4)	11
4.6.2	Ordem Empírica dos Métodos de Adams–Moulton de 4 ^a Ordem (AM4)	12
4.7	Comparação Gráfica das Diferenças face a RK4	12
5	Conclusão	13
6	Bibliografia	13

1 Introdução

Este trabalho tem como objetivo explorar diferentes métodos numéricos para resolver problemas de valores iniciais (PVI), utilizando como base a equação diferencial ordinária (EDO) apresentada no problema. O PVI analisado é definido por:

$$y'(t) = (0.5 + \sin(6t))y, \quad y(0) = 1$$

O estudo é desenvolvido em várias etapas, abrangendo tanto a validação analítica da solução exata como a implementação computacional de métodos unipasso e multipasso.

2 Solução Exata

Consideremos o problema de valores iniciais (PVI):

$$y'(t) = (0.5 + \sin(6t))y, \quad y(0) = 1$$

Esta é uma equação diferencial linear de primeira ordem e pode ser resolvida como uma equação de variáveis separáveis:

$$\begin{aligned} y' = (0.5 + \sin(6t))y &\Leftrightarrow \frac{y'}{y} = 0.5 + \sin(6t) \Leftrightarrow \int \frac{y'}{y} dt = \int (0.5 + \sin(6t)) dt \Leftrightarrow \\ &\Leftrightarrow \ln|y| = 0.5t - \frac{1}{6}\cos(6t) + c \Rightarrow y(t) = e^{0.5t - \frac{1}{6}\cos(6t) + c} \Leftrightarrow y(t) = De^{0.5t - \frac{1}{6}\cos(6t)}, c \in \mathbb{R}, D > 0 \end{aligned}$$

Aplicamos a condição inicial $y(0) = 1$:

$$\begin{aligned} 1 = De^{0.5 \cdot 0 - \frac{1}{6}\cos(6 \cdot 0)} &\Leftrightarrow 1 = De^{0 - \frac{1}{6}\cos(0)} \Leftrightarrow 1 = De^{0 - \frac{1}{6} \cdot 1} \Leftrightarrow 1 = De^{-\frac{1}{6}} \Leftrightarrow \frac{1}{e^{-\frac{1}{6}}} = D \\ &\Leftrightarrow D = e^{\frac{1}{6}} \end{aligned}$$

Assim, a solução exata do PVI é dada por :

$$y(t) = e^{\frac{1}{6}} \cdot e^{0.5t - \frac{1}{6}\cos(6t)} \Leftrightarrow y(t) = e^{0.5t - \frac{1}{6}\cos(6t) + \frac{1}{6}}$$

Também é possível realizar o exercício computacionalmente, através do código deviamente comentado que se encontra no ficheiro Júpiter Notebook.

3 Resolução Numérica de Métodos Unipasso

3.1 Descrição dos Métodos Utilizados

Para aproximar numericamente a solução do Problema de Valores Iniciais (PVI)

$$y'(t) = (0.5 + \sin(6t))y, \quad y(0) = 1$$

foram utilizados dois métodos unipasso: o método de Euler explícito e o método de Runge–Kutta de quarta ordem (RK4). Ambos são apresentados na sebenta fornecida pelo docente (Métodos Numéricos para EDO, Ano Letivo 2024/2025), particularmente no Capítulo 5, dedicado aos métodos numéricos unipasso.

3.1.1 Método de Euler

Segundo a sebenta (Secção 5.1.1), o método de Euler resulta da aproximação da derivada por uma diferença progressiva, levando à fórmula iterativa

$$y_{i+1} = y_i + h f(t_i, y_i)$$

Este método é apresentado como o método unipasso mais simples, sendo um método explícito e de primeira ordem, cujo erro global é da ordem de $O(h)$. A sebenta destaca ainda que o método possui uma região de estabilidade reduzida, o que implica que, dependendo da natureza da equação diferencial e do tamanho do passo, os erros podem crescer rapidamente ao longo da integração.

No contexto do problema presente, esta característica é particularmente relevante, uma vez que a função $f(t, y) = (0.5 + \sin(6t))y$ apresenta elevada variação devido ao termo oscilatório $\sin(6t)$. Assim, é esperado, e mais tarde confirmado experimentalmente, que Euler apresente erros muito elevados.

3.1.2 Método de Runge-Kutta de 4^a Ordem (RK4)

O método de Runge–Kutta de 4.^a ordem, apresentado na sebenta na Secção 5.1.3, consiste em aproximar a solução da EDO através da combinação ponderada de várias inclinações avaliadas em pontos intermédios dentro de cada intervalo $[t_i, t_{i+1}]$. Para um passo de integração h , definem-se:

$$\begin{aligned} k_1 &= h f(t_i, y_i), \\ k_2 &= h f\left(t_i + \frac{h}{2}, y_i + \frac{k_1}{2}\right), \\ k_3 &= h f\left(t_i + \frac{h}{2}, y_i + \frac{k_2}{2}\right), \\ k_4 &= h f(t_i + h, y_i + k_3). \end{aligned}$$

O método fornece então o valor seguinte através da expressão:

$$y_{i+1} = y_i + \frac{1}{6} (k_1 + 2k_2 + 2k_3 + k_4)$$

Este método é classificado como método explícito de quarta ordem, sendo o erro global da ordem $O(h^4)$. Tal como referido no material fornecido pelo docente, o RK4 apresenta elevada precisão para passos moderados, representando um dos métodos mais utilizados na prática devido à sua boa relação entre custo computacional e exatidão. No entanto, passos demasiado pequenos podem conduzir a acumulação de erro de arredondamento, fenômeno que é particularmente visível nos resultados numéricos obtidos.

3.2 Implementação Computacional

A implementação dos métodos numéricos foi realizada em *Python* que se encontra disponível no ficheiro Júpiter Notebook, usando as bibliotecas *NumPy*, *Pandas* e *Matplotlib*, complementadas pela função *numba.njit* para acelerar a execução.

A utilização da função *numba.njit* tornou-se necessária, dado que para o menor passo utilizado, $h = 4 \cdot 10^{-6}$, foram realizadas cerca de 10 milhões de iterações, tornando o cálculo praticamente inviável com ciclos Python puros.

O código disponível no ficheiro anexado apresenta a implementação usada, incluindo os métodos, a solução exata e o cálculo dos erros globais em $t=40$.

3.3 Resultados Numéricos

A tabela apresenta o erro global em $t = 40$ obtido pelos métodos de Euler e de Runge–Kutta de 4^a Ordem (RK4) para os seguintes valores de passo h :

$$h \in \{4 \cdot 10^{-1}, 4 \cdot 10^{-2}, 4 \cdot 10^{-3}, 4 \cdot 10^{-4}, 4 \cdot 10^{-5}, 4 \cdot 10^{-6}\}.$$

Temos ainda que, o erro global foi calculado através de

$$E(h) = |y_{\text{num}}(40) - y(40)|.$$

Assim, a tabela abaixo resume os valores obtidos:

h	Erro Euler	Erro RK4
0 0.400000	5.387796e+08	1.008519e+08
1 0.040000	2.456729e+08	2.273788e+03
2 0.004000	3.257210e+07	8.353567e-02
3 0.000400	3.357794e+06	2.048802e-02
4 0.000040	3.681747e+05	3.138589e+04
5 0.000004	3.369292e+04	1.585704e+00

3.4 Análise do Comportamento do Erro

A tabela apresentada resume o erro global em $t = 40$ para os métodos de Euler e de Runge–Kutta de 4.^a Ordem (RK4), considerando vários valores de passo h . A análise dos resultados evidencia comportamentos distintos para os dois métodos.

3.4.1 Método de Euler

O método de Euler revela erros extremamente elevados para todos os valores de h . Embora a redução do passo conduza à diminuição do erro, esta redução é lenta e insuficiente, refletindo a sua baixa ordem global $O(h)$. Para $h = 0.4$, o erro é da ordem de 10^9 , e mesmo para um passo muito pequeno, $h = 4 \cdot 10^{-6}$, o erro permanece na ordem de 10^4 . Estes resultados confirmam as limitações teóricas descritas na sebenta: a reduzida região de estabilidade do método torna-o inadequado para equações com comportamento oscilatório como a presente.

3.4.2 Método de Runge–Kutta de 4^a Ordem

Para valores moderados de h , o método RK4 apresenta uma forte redução do erro, compatível com a sua ordem global $O(h^4)$. Por exemplo, a passagem de $h = 0.04$ para $h = 0.004$ reduz o erro de $2.3 \cdot 10^3$ para $8.4 \cdot 10^{-1}$, evidenciando convergência de quarta ordem. Contudo, para passos demasiado pequenos, como $h = 4 \cdot 10^{-5}$, observa-se um aumento abrupto do erro, explicável pela acumulação de erros de arredondamento. Este é exatamente o comportamento previsto na sebenta.

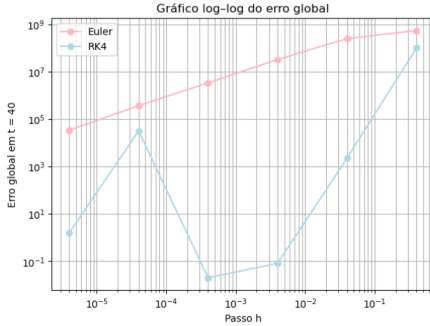
3.4.3 Comparação entre Métodos Unipasso

Para todos os valores de h , o método RK4 é significativamente mais preciso do que Euler. A diferença torna-se particularmente expressiva para $h = 0.004$, onde RK4 apresenta um erro inferior a 10^{-1} , enquanto o erro de Euler permanece na ordem de 10^7 . No entanto, para passos demasiado pequenos, o regime de convergência teórico de RK4 é perturbado, uma vez que o erro de arredondamento passa a ter um contributo significativo na soma dos erros globais. Assim, a redução de h deixa de se traduzir numa melhoria da qualidade da solução.

3.5 Análise log-log e Ordem Empírica

Para avaliar o comportamento assintótico dos métodos e confirmar a sua ordem de convergência, foi construído o gráfico log-log do erro global em função do passo h . Neste tipo de representação, a inclinação da curva é uma estimativa direta da ordem empírica do método, calculada através da fórmula $p = \frac{\ln(E_i/E_{i+1})}{\ln(h_i/h_{i+1})}$.

O gráfico obtido evidencia diferenças substanciais entre os métodos de Euler e Runge–Kutta de 4^a Ordem (RK4), bem como o impacto do erro de arredondamento para passos demasiado pequenos.



3.5.1 Ordem Empírica de Euler

Os valores estimados para a ordem empírica de Euler foram:

$$p_{\text{Euler}} \approx [0.34, 0.88, 0.99, 0.96, 1.04].$$

Estes valores distribuem-se em torno de 1, o que confirma de forma clara a ordem global teórica do método, $O(h)$. Também, a inclinação quase constante da curva no gráfico log-log reforça a conclusão de que o método opera no seu regime assintótico esperado.

3.5.2 Ordem Empírica de Runge–Kutta de 4^a Ordem

Os valores obtidos para o método RK4 foram:

$$p_{\text{RK4}} \approx [4.65, 4.43, 0.61, -6.18, 4.30].$$

A interpretação destes resultados pode dividir-se em duas fases. Para passos moderados, em particular no par $4 \cdot 10^{-2} \rightarrow 4 \cdot 10^{-3}$, obtém-se uma ordem empírica $p \approx 4.43$, confirmando o comportamento teórico de convergência de quarta ordem do método RK4. Também o gráfico em escala log-log apresenta, neste intervalo, uma inclinação estável e próxima de 4.

Para passos mais pequenos, observa-se uma degradação do comportamento assintótico. No par $4 \cdot 10^{-3} \rightarrow 4 \cdot 10^{-4}$ a ordem empírica desce para cerca de 0.61, e no par $4 \cdot 10^{-4} \rightarrow 4 \cdot 10^{-5}$ surge um valor negativo elevado, $p \approx -6.18$, indicando que o erro de arredondamento passa a dominar claramente sobre o erro de truncatura. No último par, a ordem volta a

aproximar-se de 4 ($p \approx 4.30$), resultado de cancelamentos numéricos, não correspondendo, contudo, a um verdadeiro regime assintótico.

3.6 Comparação Gráfica entre Solução Exata, Euler e Runge-Kutta 4

Nesta secção apresentam-se os gráficos comparativos entre a solução exata do Problema de Valores Iniciais,

$$y'(t) = (0.5 + \sin(6t))y, \quad y(0) = 1$$

e as soluções aproximadas produzidas pelos métodos numéricos de Euler e de Runge-Kutta de 4^a ordem (RK4).

Os principais objetivos são observar visualmente como cada método se aproxima da solução exata, como o tamanho do passo h influencia a qualidade de aproximação, e em que situações cada método falha ou converge adequadamente.

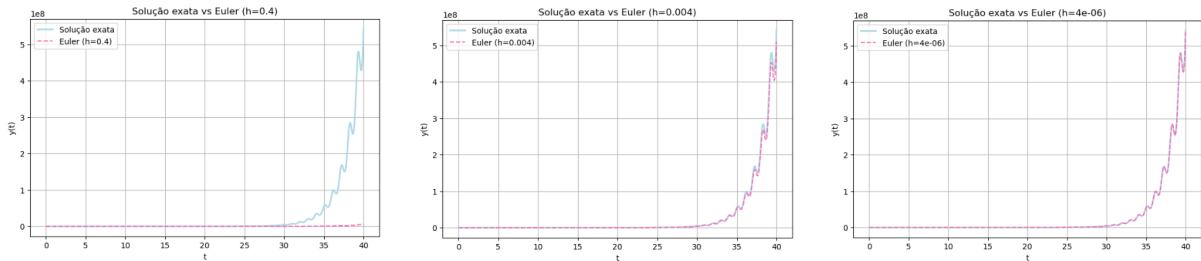
Para tal, foram analisados três valores diferentes de passo, $h = 4 \cdot 10^{-1}$, $h = 4 \cdot 10^{-3}$ e $h = 4 \cdot 10^{-6}$. Esses valores permitem observar tanto problemas de instabilidade (para passos grandes), como convergência assintótica (passos moderados), e até erro de arredondamento acumulado (passos demasiado pequenos).

3.6.1 Análise Gráfica para o Método de Euler

A comparação entre a solução exata e a solução numérica de Euler mostra claramente as limitações deste método para o problema em estudo. Com um passo grande ($h = 4 \cdot 10^{-1}$), a solução de Euler torna-se rapidamente instável, afastando-se de forma extrema da solução exata devido à reduzida região de estabilidade e ao termo oscilatório presente na equação.

Quando o passo é reduzido para ($h = 4 \cdot 10^{-3}$), a solução obtida já segue a forma geral da solução exata, mas mantém um erro global visível que cresce ao longo do intervalo. Mesmo com um passo extremamente pequeno ($h = 4 \cdot 10^{-6}$), Euler continua a apresentar erros significativos, uma vez que a sua ordem de convergência é baixa e o erro acumulado ao longo de milhões de iterações continua dominante.

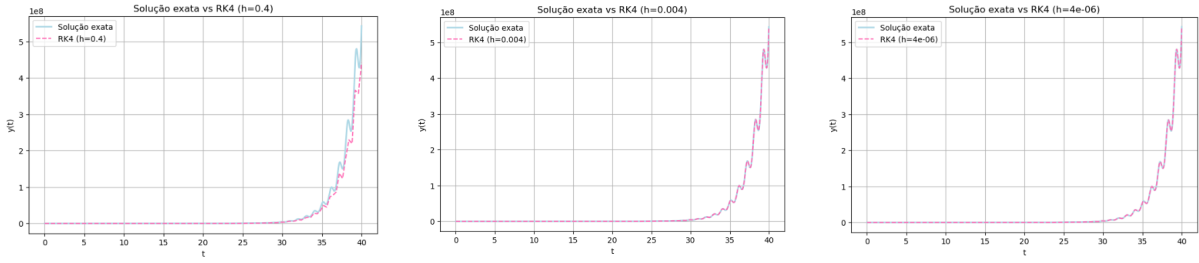
No geral, os gráficos mostram que, apesar da redução do passo melhorar parcialmente o comportamento de Euler, o método permanece pouco adequado para este problema e não atinge boa precisão mesmo com passos extremamente pequenos.



3.6.2 Análise Gráfica para o Método de Runge-Kutta de 4^a Ordem

A análise gráfica de RK4 mostra um comportamento substancialmente superior ao de Euler. Para $h = 4 \cdot 10^{-1}$, o método mantém uma aproximação razoável da solução exata, demonstrando maior estabilidade e robustez. Quando o passo é reduzido para $h = 4 \cdot 10^{-3}$, a solução numérica praticamente coincide com a solução exata ao longo

de todo o intervalo, refletindo a elevada ordem de convergência do método. Para passos extremamente pequenos ($h = 4 \cdot 10^{-6}$), a aproximação já não melhora significativamente. Apesar de teoricamente a precisão aumentar, observa-se um pequeno afastamento da solução exata devido à acumulação de erros de arredondamento ao longo de milhões de iterações. Contudo, este afastamento não é visível diretamente no gráfico, uma vez que os valores da solução exata são da ordem de 10^8 , enquanto o erro absoluto é da ordem 10^0 . Ainda assim, a sua existência é confirmada através do cálculo do erro global $E(h) = |y_{num}(40) - y(40)|$, que, para este passo, assume o valor $E(h) \approx 1.6$. Assim, os gráficos mostram que RK4 é altamente preciso para passos moderados e permanece estável mesmo para passos grandes, sendo limitado apenas por erros de arredondamento para passos demasiado pequenos.



4 Resolução Numérica de Métodos Multipasso

4.1 Descrição dos Métodos Utilizados

Procedemos, agora, ao estudo de métodos lineares multipasso aplicados ao mesmo Problema de Valores Iniciais (PVI)

$$y'(t) = (0.5 + \sin(6t))y, \quad y(0) = 1$$

com o objetivo de comparar o desempenho dos métodos de Adams–Bashforth e Adams–Moulton com os métodos unipasso previamente analisados.

Foram considerados os métodos de Adams–Bashforth de 4ª ordem (AB4), e Adams–Moulton de 4ª ordem (AM4), utilizado como corretor, com 1, 2 e 3 iterações de correção, que utilizam valores anteriores da solução para calcular a aproximação ao novo instante. De forma a cumprir uma especificação do enunciado, os valores iniciais necessários foram obtidos através do método de Runge–Kutta de 4ª ordem (RK4).

4.1.1 Método de Adams–Bashforth de 4ª Ordem (AB4)

O método de Adams–Bashforth de 4ª ordem é um método linear multipasso explícito que utiliza a informação de quatro instantes anteriores para determinar a aproximação ao instante seguinte. Ao contrário dos métodos unipasso, como o método de Euler ou o método de Runge–Kutta, os métodos de Adams recorrem a valores passados da solução, o que permite aumentar a ordem do método sem necessidade de avaliações intermédias adicionais da função.

A fórmula geral do método AB4 é dada por

$$y_{n+1} = y_n + \frac{h}{24} (55f_n - 59f_{n-1} + 37f_{n-2} - 9f_{n-3})$$

onde $f(t_n, y_n)$. Este método possui erro global de ordem $O(h^4)$, o que significa que, teoricamente, a redução do passo conduz a uma diminuição muito rápida do erro. No

entanto, por se tratar de um método explícito, apresenta limitações em termos de estabilidade, sendo mais sensível à escolha do tamanho do passo do que os métodos implícitos. Note-se ainda que o erro de truncatura local do método é da ordem de $O(h^5)$, em concordância com a teoria.

4.1.2 Método de Adams–Moulton de 4^a Ordem (AM4)

O método de Adams–Moulton de 4^a ordem pertence também à família dos métodos lineares multipasso, mas distingue-se do método de Adams–Bashforth por ser um método implícito. A sua fórmula é dada por

$$y_{n+1} = y_n + \frac{h}{24} (9f_{n+1} + 19f_n - 5f_{n-1} + f_{n-2}).$$

Como a função f_{n+1} depende do valor desconhecido y_{n+1} , este método não pode ser aplicado diretamente, sendo necessário recorrer a um esquema iterativo. No presente trabalho, o método de Adams–Bashforth de 4^a ordem foi utilizado como preditor, fornecendo uma primeira aproximação para y_{n+1} , a qual é depois melhorada através de sucessivas correções pelo método de Adams–Moulton.

Foram consideradas três variantes do método correção: com uma iteração (AM4-1), com duas iterações (AM4-2) e com três iterações (AM4-3). Em termos teóricos, o método AM4 apresenta também erro global da ordem $O(h^4)$, sendo, no entanto, mais estável do que o método AB4 devido à sua natureza implícita. Este esquema preditor–corretor constitui uma abordagem clássica na resolução numérica de problemas de valor inicial. Note-se, também para este método, que o erro de truncatura local do método é da ordem de $O(h^5)$, em concordância com a teoria.

4.2 Valores Iniciais

Os métodos multipasso exigem valores iniciais da solução. Assim, os três primeiros valores numéricos foram obtidos através do método de Runge–Kutta de 4^a ordem (RK4), garantindo elevada precisão no arranque dos métodos AB4 e AM4.

4.3 Implementação Computacional

A implementação foi realizada em *Python*, recorrendo às bibliotecas *NumPy*, *Pandas*, *Matplotlib* e *Numba*, tal como nos métodos unipasso. Para cada valor de h , os métodos foram aplicados no intervalo $[0, 40]$ e foi calculado o erro global:

$$E(h) = |y_{num}(40) - y(40)|$$

4.4 Resultados Numéricos

A tabela apresenta o erro global em $t = 40$ obtido pelos métodos de Adams–Bashforth de 4^a ordem (AB4) e de Adams–Moulton de 4^a ordem (AM4), considerando as três variantes do corretor com uma, duas e três iterações (AM4-1, AM4-2 e AM4-3), para os seguintes valores do passo de integração:

$$h \in \{4 \cdot 10^{-1}, 4 \cdot 10^{-2}, 4 \cdot 10^{-3}, 4 \cdot 10^{-4}, 4 \cdot 10^{-5}, 4 \cdot 10^{-6}\}.$$

Tal como anteriormente, o erro global foi definido por:

$$E(h) = |y_{num}(40) - y(40)|$$

onde $y_{num}(40)$ representa a aproximação numérica obtida por cada método e $y(40)$ a solução exata avaliada no instante final.

Assim, a tabela seguinte resume os valores do erro global obtidos para os métodos AB4, AM4-1, AM4-2, AM4-3 e RK4, permitindo analisar o comportamento do erro em função do passo e comparar o desempenho relativo entre os diferentes métodos multipasso, e de seguida, efetuar uma comparação com o método unipasso RK4.

h	Erro RK4	Erro AB4	Erro AM4-1	Erro AM4-2	Erro AM4-3
0	0.400000	1.008519e+08	5.428840e+08	5.398213e+08	4.695749e+08
1	0.040000	2.273788e+03	1.405324e+06	1.903333e+05	8.810325e+04
2	0.004000	8.353567e-02	9.746825e+01	8.697302e+00	7.159399e+00
3	0.000400	2.048802e-02	1.125538e-02	2.120399e-02	2.118811e-02
4	0.000040	3.138589e+04	3.138589e+04	3.138589e+04	3.138589e+04
5	0.000004	1.585704e+00	1.585705e+00	1.585706e+00	1.585706e+00

4.5 Análise do Comportamento do Erro

A tabela apresentada resume o erro global em $t = 40$ para os métodos de Adams–Bashforth de 4^a ordem (AB4) e de Adams–Moulton de 4^a ordem (AM4), para variantes com uma, duas e três correções (AM4-1, AM4-2 e AM4-3), considerando vários valores do passo h . A análise dos resultados evidencia comportamentos distintos entre os métodos explícitos e implícitos, bem como a influência do número de correções efetuadas no método AM4. Também nesta tabela está representado o erro global em $t = 40$ para RK4, de forma a facilitar a comparação dos métodos multipasso com este método unipasso.

4.5.1 Método de Adams–Bashforth de 4^a Ordem (AB4)

O método de Adams–Bashforth de 4^a ordem apresenta erros elevados para passos grandes, refletindo a sua natureza de método explícito e a sua menor estabilidade quando comparado com métodos implícitos. Para $h = 0.4$, o erro atinge valores extremamente elevados, indicando uma fraca aproximação da solução exata.

À medida que o passo é reduzido, observa-se uma diminuição significativa do erro, compatível com a sua ordem teórica de convergência $O(h^4)$. Em particular, para $h = 4 \cdot 10^{-3}$ e $h = 4 \cdot 10^{-4}$, os erros reduzem-se para valores da ordem de 10^2 e 10^{-2} , respectivamente.

No entanto, para $h = 4 \cdot 10^{-5}$, observa-se um aumento do erro, provocado pela acumulação dos erros de arredondamento ao longo de milhões de iterações. Para $h = 4 \cdot 10^{-6}$, o erro volta a diminuir, no entanto este fenômeno é explicável por cancelamento numérico entre erros de arredondamento de sinais opostos, não correspondendo contudo a uma recuperação da convergência teórica do método.

4.5.2 Método de Adams–Moulton de 4^a Ordem (AM4)

Os métodos de Adams–Moulton de 4^a ordem apresentam, de forma geral, erros inferiores aos obtidos pelo método AB4 para os mesmos valores de h , o que se explica pela sua natureza implícita e maior estabilidade numérica. Para $h = 0.4$, embora o erro ainda seja elevado, já se observa uma melhoria relativamente ao AB4.

Quando o passo é reduzido para $h = 4 \cdot 10^{-3}$, os métodos AM4 (AM4-1, AM4-2 e AM4-3) exibem uma redução acentuada do erro, atingindo valores compatíveis com a ordem teórica $O(h^4)$. Para $h = 4 \cdot 10^{-4}$, os erros situam-se na ordem de 10^{-2} , confirmando claramente o regime assintótico de convergência.

No entanto, para $h = 4 \cdot 10^{-5}$, observa-se um aumento do erro em todas as variantes do método (AM4-1, AM4-2 e AM4-3), verificando-se neste caso o mesmo fenômeno anteriormente descrito para o método AB4, associado à acumulação de erros de arredondamento ao longo de um número elevado de iterações. Para $h = 4 \cdot 10^{-6}$, o erro volta a diminuir

em todas as correções, devido a efeitos de cancelamento numérico, não correspondendo, contudo, a uma verdadeira recuperação da convergência teórica do método.

4.5.3 Comparação entre Métodos Multipasso

A comparação entre os métodos AB4 e AM4 evidencia claramente a superioridade dos métodos implícitos de Adams–Moulton relativamente ao método explícito de Adams–Bashforth. Para todos os valores de h , os métodos AM4 apresentam erros inferiores aos do AB4, sendo esta diferença particularmente visível para passos intermédios, como $h = 4 \cdot 10^{-3}$ e $h = 4 \cdot 10^{-4}$.

Por outro lado, a comparação entre as variantes AM4-1, AM4-2 e AM4-3 mostra que o aumento do número de correções conduz apenas a melhorias residuais na precisão, sobretudo para passos reduzidos. Para $h \leq 4 \cdot 10^{-5}$, todos os métodos exibem praticamente o mesmo erro global, indicando que a precisão passa a ser limitada pelos erros de arredondamento acumulados ao longo das iterações, e não pelo erro de truncatura do método.

Assim, conclui-se que os métodos multipasso de 4^a ordem apresentam um desempenho numérico consistente com a teoria, sendo os métodos de Adams–Moulton mais precisos e estáveis do que o método de Adams–Bashforth, especialmente para passos suficientemente pequenos.

4.6 Análise log–log e Ordem Empírica

Com o objetivo de analisar o comportamento assintótico dos métodos multipasso e confirmar a sua ordem teórica de convergência, foi construído o gráfico log–log do erro global em função do passo h , para os métodos de Runge–Kutta de 4^a ordem, Adams–Bashforth de 4^a ordem (AB4) e Adams–Moulton de 4^a ordem (AM4), para variantes com uma, duas e três correções (AM4-1, AM4-2 e AM4-3).

Tal como na análise dos métodos unipasso, a inclinação das curvas no gráfico log–log permite obter uma estimativa direta da ordem empírica dos métodos. O gráfico evidencia um comportamento aproximadamente linear num certo intervalo de valores de h , confirmado o regime de convergência teórica, bem como desvios desse regime para passos demasiado pequenos, associados à influência dos erros de arredondamento.

4.6.1 Ordem Empírica do Método de Adams–Bashforth de 4^a Ordem (AB4)

Os valores obtidos para a ordem empírica do método AB4 foram

$$p_{AB4} \approx [2.59, 4.16, 3.94, -6.45, 4.30].$$

A análise destes resultados mostra que, para passos intermédios, em particular entre $h = 4 \cdot 10^{-3}$ e $h = 4 \cdot 10^{-4}$, a ordem empírica se aproxima claramente de 4, confirmando o comportamento teórico de convergência de ordem $O(h^4)$. Para os passos entre $h = 4 \cdot 10^{-4}$ e $h = 4 \cdot 10^{-5}$ observa-se um valor negativo elevado, indicando que o erro deixa de diminuir de forma regular, fenômeno associado à acumulação dos erros de arredondamento ao longo de um grande número de iterações. Já para os passos intermédios entre $h = 4 \cdot 10^{-5}$ e $h = 4 \cdot 10^{-6}$, a ordem empírica volta a aproximar-se de 4, devido a efeitos de cancelamento numérico entre erros de arredondamento, não correspondendo, contudo, a uma verdadeira recuperação do regime de convergência teórica.

4.6.2 Ordem Empírica dos Métodos de Adams–Moulton de 4^a Ordem (AM4)

Os valores obtidos para as três variantes do método AM4 foram

$$p_{AM4-1} \approx [3.45, 4.34, 2.61, -6.17, 4.30],$$

$$p_{AM4-2} \approx [3.73, 4.09, 2.53, -6.17, 4.30],$$

$$p_{AM4-3} \approx [3.69, 4.09, 2.53, -6.17, 4.30].$$

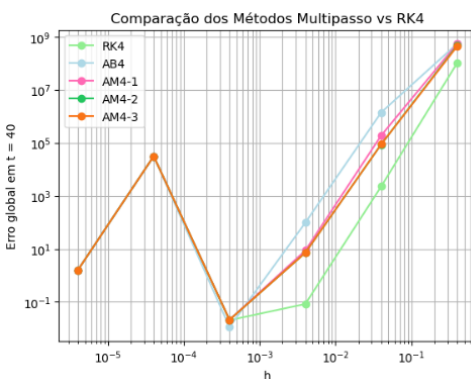
A análise conjunta destes resultados permite concluir que, tal como no método AB4, para passos intermédios, em particular entre $h = 4 \cdot 10^{-2}$ e $h = 4 \cdot 10^{-3}$, todas as variantes do método AM4 apresentam ordens empíricas próximas de 4, confirmando a ordem teórica de convergência $O(h^4)$. Para os passos entre $h = 4 \cdot 10^{-4}$ e $h = 4 \cdot 10^{-5}$, verifica-se novamente a presença de valores negativos elevados da ordem empírica, refletindo a perda de dominância do erro de truncatura face aos efeitos dos arredondamentos acumulados. Já para os passos intermédios entre $h = 4 \cdot 10^{-5}$ e $h = 4 \cdot 10^{-6}$, os valores voltam a aproximar-se de 4, resultado de cancelamentos numéricos, não correspondendo a um verdadeiro regime assintótico. Observa-se, ainda, que o aumento do número de correções, de AM4-1 para AM4-3, não altera significativamente a ordem empírica, afetando apenas de forma residual a constante multiplicativa do erro.

4.7 Comparação Gráfica das Diferenças face a RK4

A análise gráfica comparativa entre o método de Runge–Kutta de 4^a ordem (RK4) e os métodos multipasso AB4 e AM4 evidencia de forma clara as diferenças de comportamento ao longo dos vários valores de h . Para passos grandes, observa-se que o RK4 apresenta erros inferiores, enquanto o método AB4 revela instabilidade acentuada, com erros muito elevados. Os métodos AM4, apesar de ainda apresentarem erros significativos, aproximam-se mais ao comportamento do RK4, refletindo a sua maior estabilidade.

Para passos intermédios, as curvas correspondentes ao RK4 e aos métodos AM4 tornam-se praticamente paralelas, indicando um comportamento compatível com a sua ordem teórica de convergência $O(h^4)$. O AM4 aproxima-se muito do desempenho do RK4, apresentando erros globais da mesma ordem de grandeza, enquanto o AB4 continua sistematicamente acima. As diferentes variantes do AM4 (com uma, duas e três correções) apresentam curvas praticamente coincidentes, mostrando que o aumento do número de correções tem impacto pouco significativo na precisão final.

Para passos muito pequenos, todas as curvas deixam de seguir o comportamento linear esperado, evidenciando a influência dominante do erro de arredondamento. Neste regime, tanto o RK4 como os métodos multipasso exibem oscilações no erro, confirmando que a melhoria da precisão deixa de estar associada à redução do passo. Ainda assim, o RK4 mantém uma grande estabilidade global ao longo de todo o intervalo analisado.



5 Conclusão

Neste trabalho foram estudados e comparados diversos métodos numéricos para a resolução de um problema de valores iniciais (PVI), nomeadamente os métodos de Euler, Runge–Kutta de 4^a ordem (RK4), Adams–Bashforth de 4^a ordem (AB4) e Adams–Moulton de 4^a ordem (AM4).

Os resultados obtidos mostram claramente que o método de Euler, sendo um método de primeira ordem, apresenta erros globais muito elevados, mesmo para valores de passo h reduzidos, confirmando o seu fraco desempenho neste problema, que envolve um termo fortemente oscilatório $\sin(6t)$. Por outro lado, o método de Runge–Kutta de 4^a ordem revelou uma precisão significativamente superior, com um erro global muito inferior, validando a sua ordem teórica de convergência $O(h^4)$.

Relativamente aos métodos multipasso, verificou-se que o método de Adams–Moulton apresenta melhores resultados que o método de Adams–Bashforth, sendo que o aumento do número de iterações de correção conduz, de forma geral, a uma maior aproximação da solução exata. A comparação com o método RK4 permitiu, ainda, confirmar que os métodos multipasso atingem níveis de precisão semelhantes quando corretamente implementados.

De um modo geral, os resultados numéricos confirmam a teoria estudada, tanto ao nível da ordem dos métodos como do comportamento do erro. Este trabalho permitiu, assim, compreender na prática as diferenças entre métodos unipasso e multipasso, bem como a relação existente entre custo computacional e precisão.

6 Bibliografia

Referências

- [1] Luís Silva. *Apontamentos para as aulas da disciplina Equações Diferenciais e Transformadas*. ISEL, 2024.